

Dinámica de vórtices II

Recordemos

Ecuacion de movimiento de un vortice por unidad de longitud:

$$\eta \bar{v}_i = \sum_j \bar{f}^{vv}(\bar{r}_i - \bar{r}_j) + \sum_k \bar{f}^{vp}(\bar{r}_i - \bar{r}_k) + \bar{J}_{ext} \times \bar{\phi}_0 + \mathcal{F}^T$$

En campo medio, por unidad de longitud de un vortice:

$$\eta \bar{v}_i = \bar{f}^p(\bar{r}_i) + \bar{J}(\bar{r}_i) \times \bar{\phi}_0 + \mathcal{F}^T$$

Determinada por la interaccion con los defectos y los segmentos de vortices vecinos

Densidad de corriente macroscopica neta

Por ahora no consideremos la fuerza termica

$$\eta \bar{v}_i = \bar{f}^p(\bar{r}_i) + \bar{J}(\bar{r}_i) \times \bar{\phi}_0 + \cancel{\mathcal{F}^T}$$

En campo medio, por unidad de volumen:

$$\eta \bar{v}(\bar{r}) = \bar{F}^p(\bar{r}) + \bar{J}(\bar{r}) \times \bar{B} + \mathcal{F}^T$$

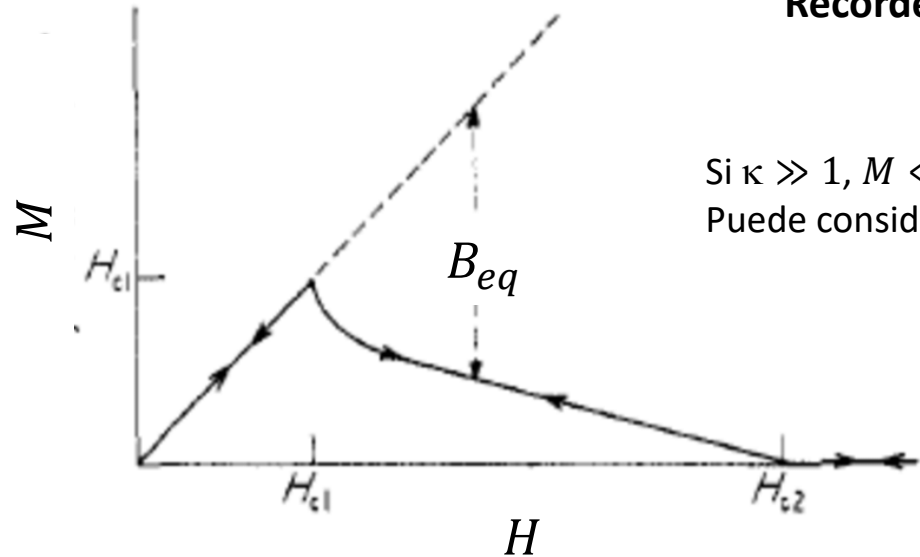
Caso 1) El pinning es despreciable: $\bar{f}^p \ll \bar{J} \times \bar{\phi}_0 \Rightarrow j \gg j_c \Rightarrow$ Los vortices se van a mover (en regimen de FF).

$$\eta \bar{v}_i = \bar{J}(\bar{r}_i) \times \bar{\phi}_0 \quad \text{Se van a mover con } v = \frac{1}{\eta} J \phi_0 \text{ perpendicular a la corriente, con } \eta = \frac{\mu_0 \phi_0 H_{c2}}{\rho}$$

Esto implica una disipacion con $E = \rho_{FF} J$ **Regimen Lineal Ohmico** $\rho_{FF} = \frac{B}{\mu_0 H_{c2}} \rho$

$\bar{f}^p \ll \bar{j} \times \bar{\phi}_0 \Rightarrow j \gg j_c$ Caso particular: $j_c \sim 0$ Esto es lo que ocurre en una muestra MUY limpia

Recordemos: Magnetización de equilibrio



Si $\kappa \gg 1$, $M \ll H$ apenas el campo aplicado supera H_{c1} .
Puede considerarse $B_{eq} \sim \mu_0 H$ en la mayor parte del estado mixto

Si el pinning es despreciable: $\eta \bar{v}_i = \bar{j}(\bar{r}_i) \times \bar{\phi}_0$

A medida que aumenta (disminuye) el campo H los vortices se mueven en regimen de FF hasta alcanzar la nueva configuracion de equilibrio: RV triangular con $a_0^2 \sim \frac{\phi_0}{B_{eq}}$. Cuando alcanzan esa configuracion $\bar{j}(\bar{r}_i) = 0$ y $\bar{v}_i = 0$. La curva $M_{eq}(H)$ de equilibrio es **reversible**.

Esto ocurre solo si $j_c \sim 0$.

Ecuación de movimiento de 1 vortice por unidad de longitud en campo medio:

Por ahora no consideremos la fuerza termica

$$\eta \bar{v}_i = \bar{f}^p(\bar{r}_i) + \bar{j}(\bar{r}_i) \times \bar{\phi}_0 + \cancel{\mathcal{F}^T}$$

Determinada por la interacción con los defectos y los segmentos de vortices vecinos

Densidad de corriente macroscopica neta

Caso 2) Domina la fuerza de anclaje: $\bar{f}^p > \bar{j} \times \bar{\phi}_0 \Rightarrow j < j_c \Rightarrow v = 0$ Los vortices no se mueven

Aunque la RV no este en la configuración de equilibrio, si las corrientes locales $j(\bar{r}_i) < j_c$, la RV se va a quedar en esa configuración metaestable. $B \sim \phi_0 a_0^2 \neq B_{eq}$ y $M \neq M_{eq}$.

La magnetización M y el campo interno B van a depender de la historia.

Curva $M(H)$ irreversible, con histeresis

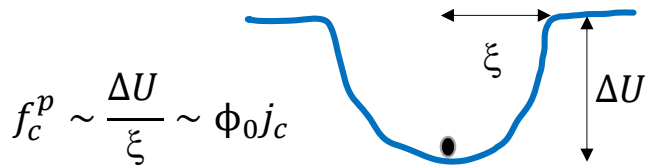
Caso 2) Domina la fuerza de anclaje: $\bar{f}^p > \bar{j} \times \bar{\phi}_0 \Rightarrow j < j_c \Rightarrow v = 0$ Los vortices no se mueven

Aunque la RV no este en la configuracion de equilibrio, si las corrientes locales $j(\bar{r}_i) < j_c$, la RV se va a quedar en esa configuracion metaestable. $B \sim \phi_0 a_0^2 \neq B_{eq}$ y $M \neq M_{eq}$.

La magnetizacion M y el campo interno B van a depender de la historia.

Curva $M(H)$ irreversible, con histeresis

Pero: Como hacemos para cambiar el campo interno si los vortices no se pueden mover?? **IMPOSIBLE**



Para mover los vortices en distancias $u > \xi$ los tenemos que sacar de los centros de anclaje.

Para cambiar B (o M) significativamente (acercar o alejar los vortices entre si) tenemos que superar (al menos en un instante) j_c .

$j > j_c \Rightarrow$ lo vortices se mueven hasta alcanzar una nueva configuracion metaestable. Cuando se frenan?

Quando $|\bar{j}_s(\bar{r})| = \frac{1}{\mu_0} |\bar{\nabla} \times \bar{B}(\bar{r})| \leq j_c$ para todo \bar{r}

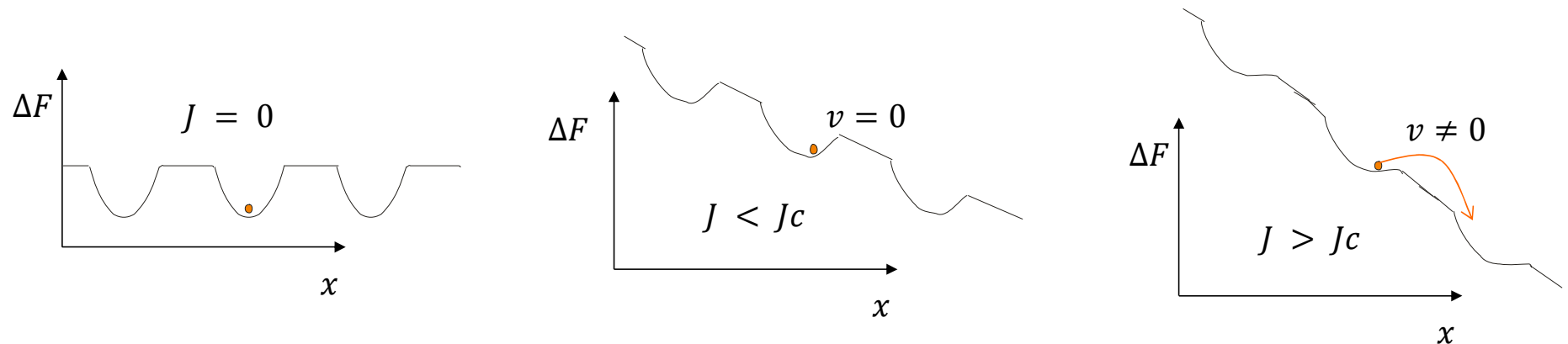
Se forman entonces perfiles de B en la muestra tal que, en todas las regiones ocupadas por vortices, $\bar{\nabla} \times \bar{B} \lesssim \mu_0 j_c$.

Regimen de Estado Crítico

Régimen de estado crítico

- Dominan las fuerzas de anclaje.
- Al mover los vortices, el sistema se reorganiza en configuraciones metaestables tales que la fuerza de anclaje alcanza “justo” para sostener a la fuerza ejercida por corriente

$$0 = f_c^p(\bar{r}_i) + \bar{J}_c(\bar{r}_i) \times \bar{\phi}_0$$



La fuerza de Lorentz genera un potencial que “inclina” el paisaje de energía local

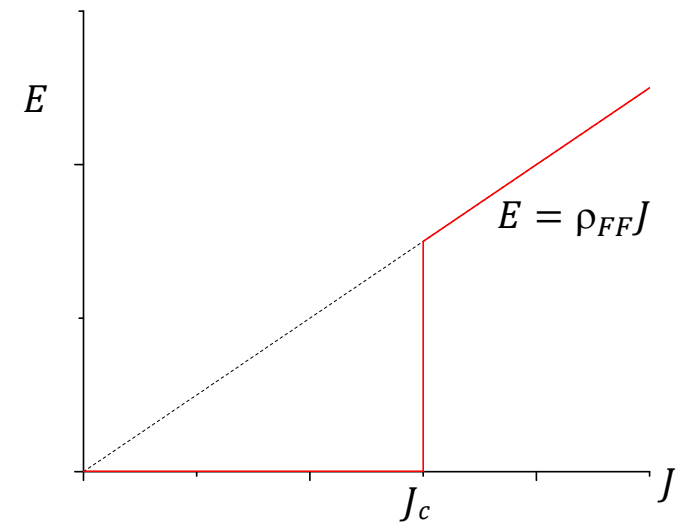
Régimen de estado crítico

Bajo estas suposiciones: cómo será el campo B interno al cambiar el campo H aplicado?

Modelo de Bean:

- 1) Los vórtices no pueden salir de los centros de anclaje si $j < j_c$ (desprecia las fluctuaciones termicas). Las configuraciones metaestables tienen vida infinita.
- 2) Al superar j_c el movimiento hasta alcanzar una nueva configuración metaestable es “instantáneo” ; $t_{\text{mov}} \ll t_{\text{medición}}$.
- 3) j_c no depende de B en el rango de campos involucrados.

$$E(J) = \begin{cases} 0 & \text{si } J < J_c \text{ (los vórtices están anclados)} \\ \infty & \text{si } J > J_c \text{ (los vórtices se mueven)} \end{cases}$$

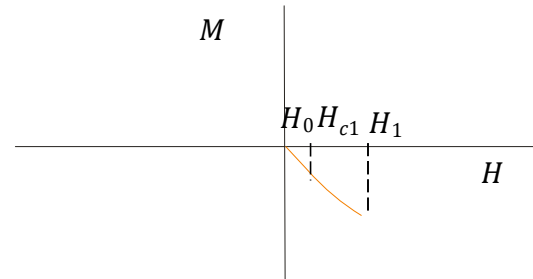
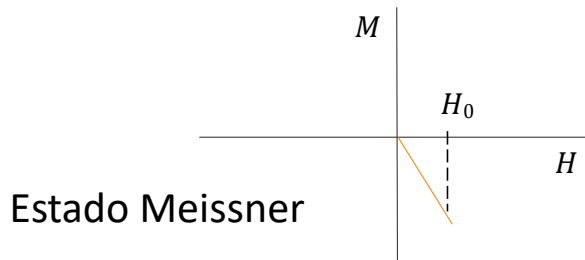
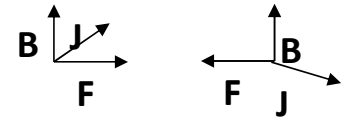
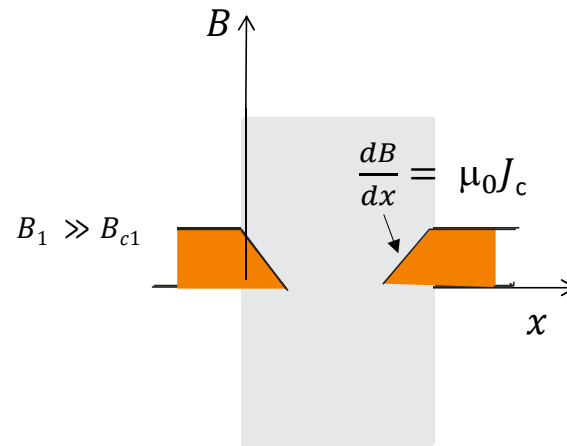
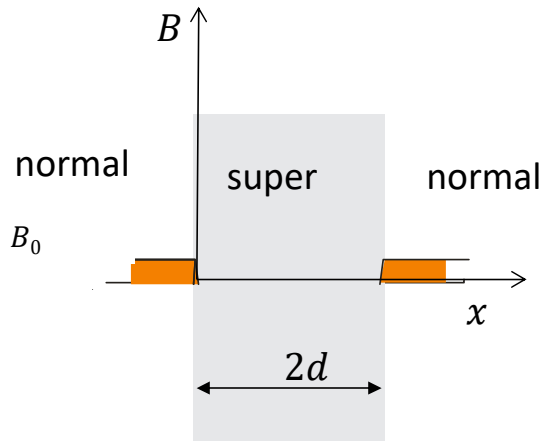


Magnetización en el modelo de Bean

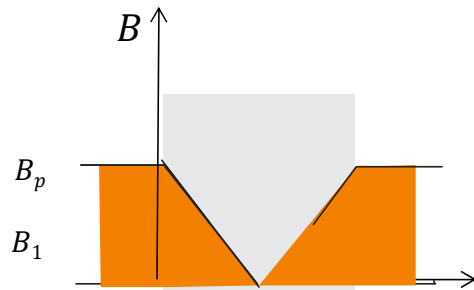
Plancha superconductora infinita de ancho $2d$ sin FD
 $\lambda \ll d, \kappa \gg 1; J_c$ indep. de B

$$\mu_0 M = \frac{1}{2d} \int B(x) dx - \mu_0 H$$

$$\frac{dB}{dx} = \mu_0 J$$

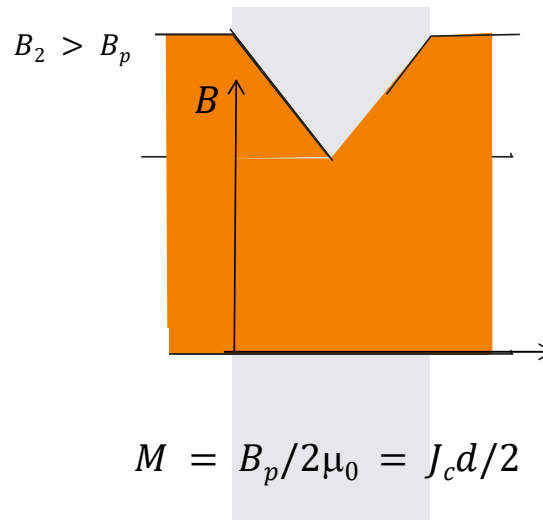
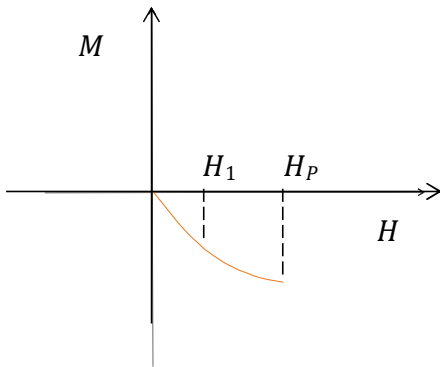


Magnetización en el modelo de Bean

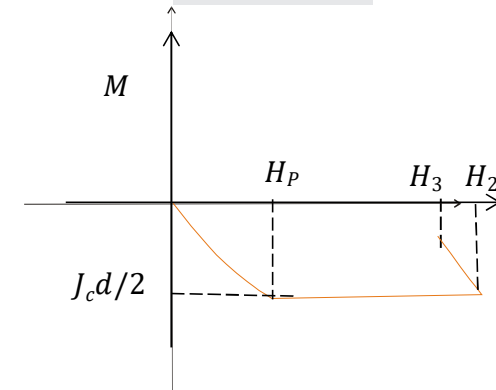
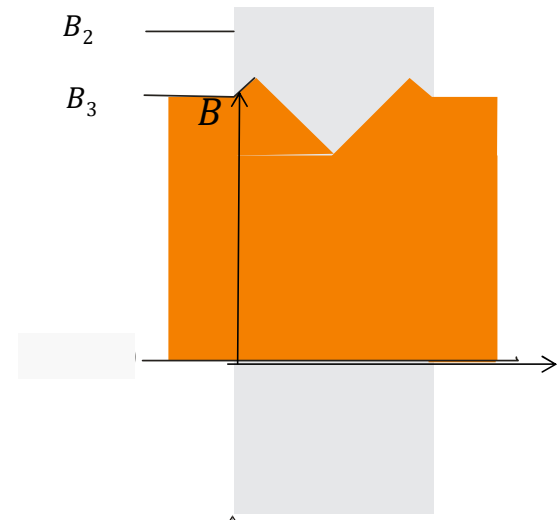
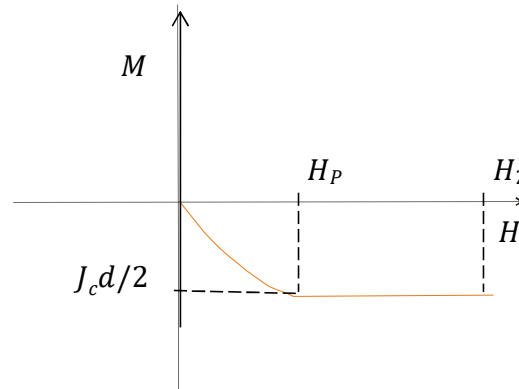


$$B_p = \mu_0 J_c d$$

$$M = B_p / 2\mu_0 = J_c d / 2$$



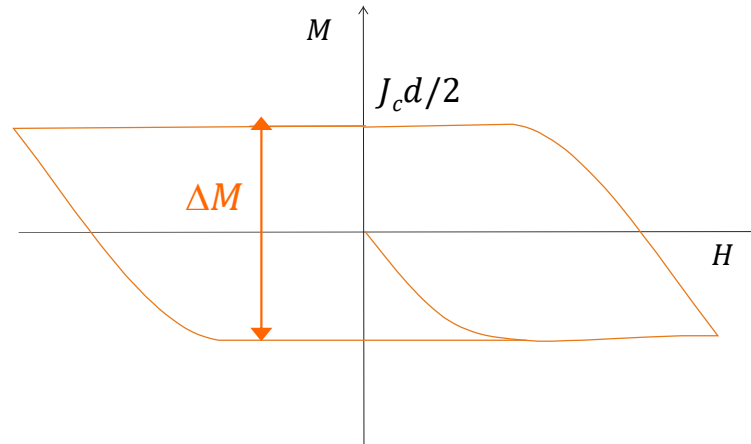
$$M = B_p / 2\mu_0 = J_c d / 2$$



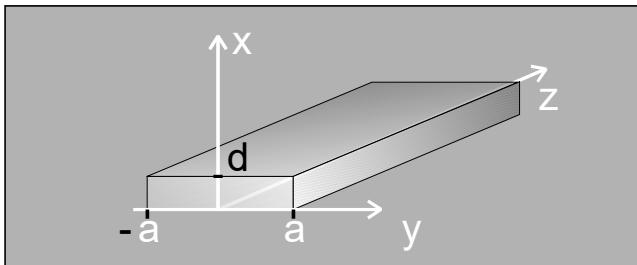
Magnetización en el modelo de Bean

Plano infinito de ancho $2d$:

$$J_c = \frac{\Delta M}{d}$$



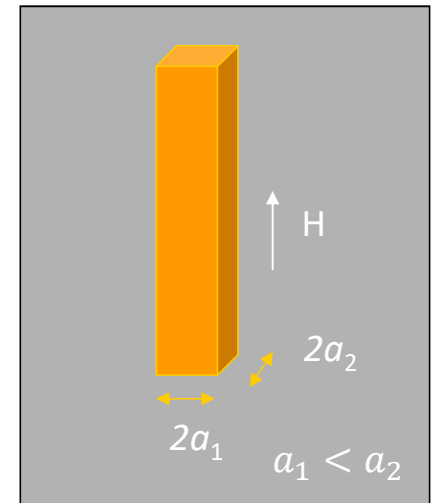
Algunas otras geometrias con solucion analitica:



$$J_c = \frac{\Delta M}{4a}$$

E.H. Brandt, PRB **52** (15442), 1995

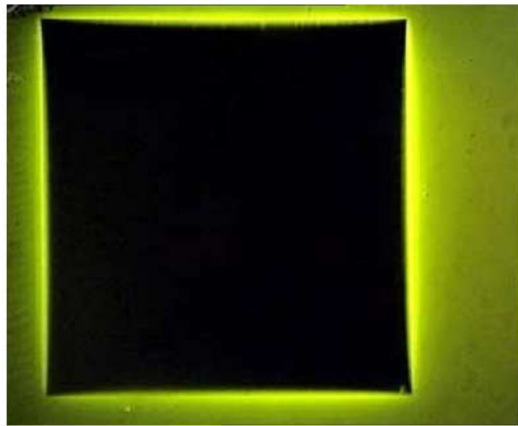
$$J_c = \frac{\Delta M}{4a_1 \left(1 - \frac{a_1}{3a_2}\right)}$$



Midiendo un lazo de magnetización y conociendo dimensiones de la muestra se puede medir J_c

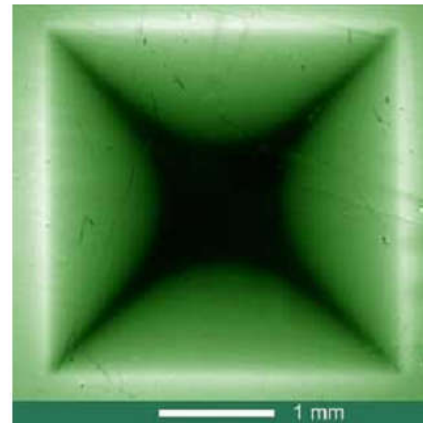
Imágenes de penetración de flujo por MO

MEISSNER STATE



LOW FIELDS

BEAN-TYPE PENETRATION



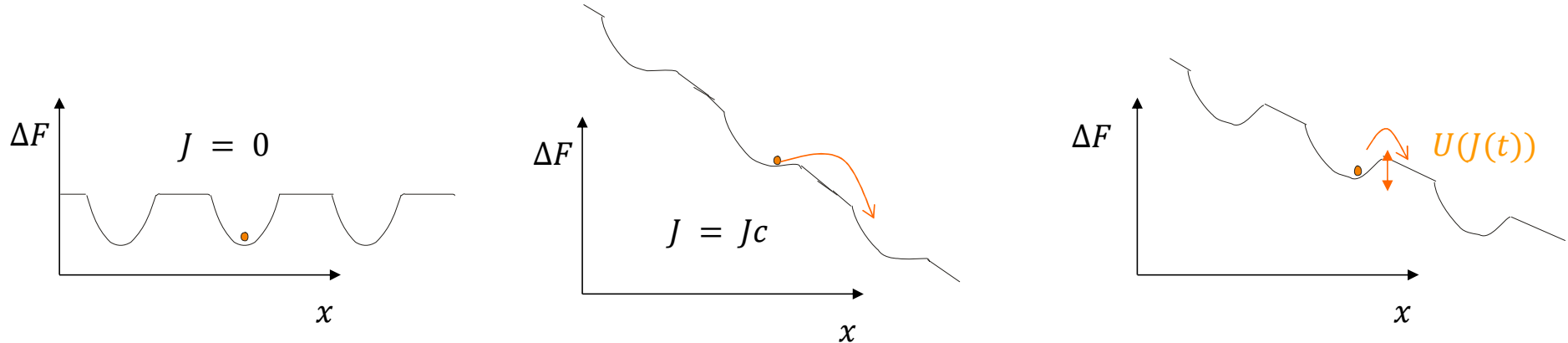
Imágenes tomadas por el grupo de I Johansen, Universidad de Oslo

Más allá del caballo esférico: Activación térmica (thermal flux creep)

$$\eta \bar{v}_i = \bar{f}^p(\bar{r}_i) + \bar{j}(\bar{r}_i) \times \bar{\phi}_0 + \mathcal{F}^T$$

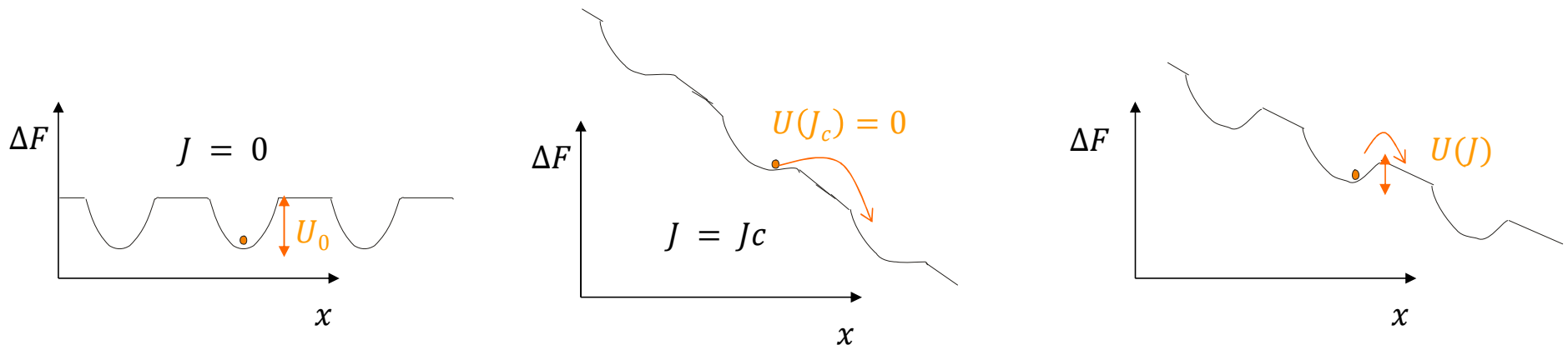
$$\eta \bar{v}(\bar{r}) = \bar{F}^p(\bar{r}) + \bar{j}(\bar{r}) \times \bar{B} + \mathcal{F}^T$$

Caso 3) Domina la fuerza de anclaje pero no podemos despreciar las fluctuaciones térmicas:



Aunque $J < J_c$ los vortices pueden moverse por activación térmica con probabilidad $P \propto e^{-\frac{U}{kT}}$.
 La J "inclina la cancha" favoreciendo la probabilidad hacia un lado.

Activación térmica: flux creep



Probabilidad de un vortice de saltar la barrera de potencial: $P \propto e^{-\frac{U(J)}{kT}}$

Los vortices se van a mover hacia el lado favorecido por la corriente con velocidad: $v = \omega_0 d e^{-\frac{U(J)}{kT}} = v_0 e^{-\frac{U(J)}{kT}}$

El movimiento va a generar una pequeña disipación: $E = v_0 B e^{-\frac{U(J)}{kT}}$

Si el perfil relaja poco, $J \lesssim J_c \Rightarrow$ Podemos suponer una dependencia lineal (Anderson-Kim): $U(J) \sim \frac{U_0}{J_c} (J - J_c)$

$$\begin{aligned} \vec{\nabla} \times \vec{E} &= -\frac{\partial \vec{B}}{\partial t} \\ \vec{\nabla} \times \vec{B} &= \mu_0 \vec{J} \end{aligned}$$

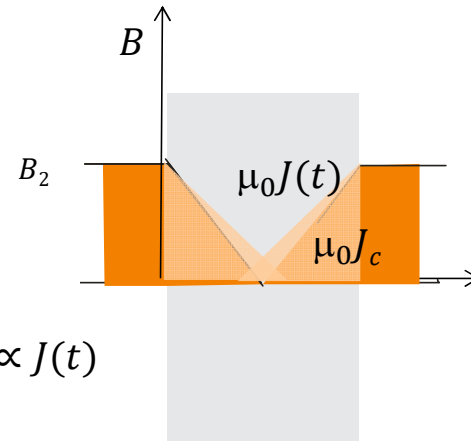
$$\Rightarrow \frac{\partial J}{\partial t} = -\frac{J_c}{\tau_0} e^{-\frac{U(J)}{kT}} ; \tau_0 = 1/\omega_0 \Rightarrow$$

$$J(t) \sim J_c \left[1 - \frac{kT}{U_0} \ln \left(1 + \frac{t}{t_0} \right) \right]$$

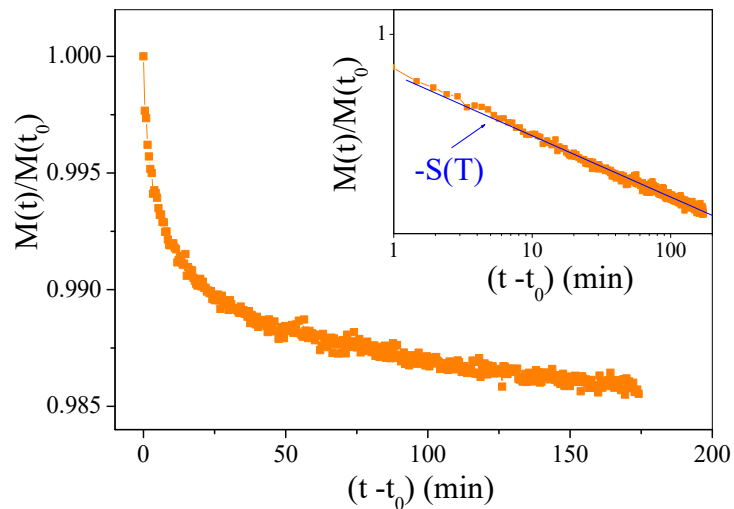
J decae
logaritmicamente
con t

Activación térmica: flux creep

Si domina la fuerza de anclaje, se puede mostrar que el perfil crítico relaja con el tiempo, con una $J(t) < J_c$ que sigue siendo uniforme.



Para cada t sigue valiendo el modelo de Bean con $M(t) \propto J(t)$



El perfil de campo relaja cada vez mas lento.
En el modelo de A-K se predice logritmico

Magnetizacion en funcion del tiempo medida en una muestra de MgB_2 en estado crítico

Magnetización en superconductores de tipo II. Más allá del caballo esférico: factores geometricos

Incluso en ausencia de pinning, con J_c nula, la magnetización podría presentar histéresis por cuestiones geométricas (barreras de superficie)

Las líneas punteadas muestran magnetización reversible para varios elipsoides de revolución con distintos FD (determinados por b/a).

Las curvas continuas son la M esperada para discos/cilindros con la misma relación b/a . Se ve que los bordes y esquinas generan barreras geométricas que llevan a histéresis para campos chicos.

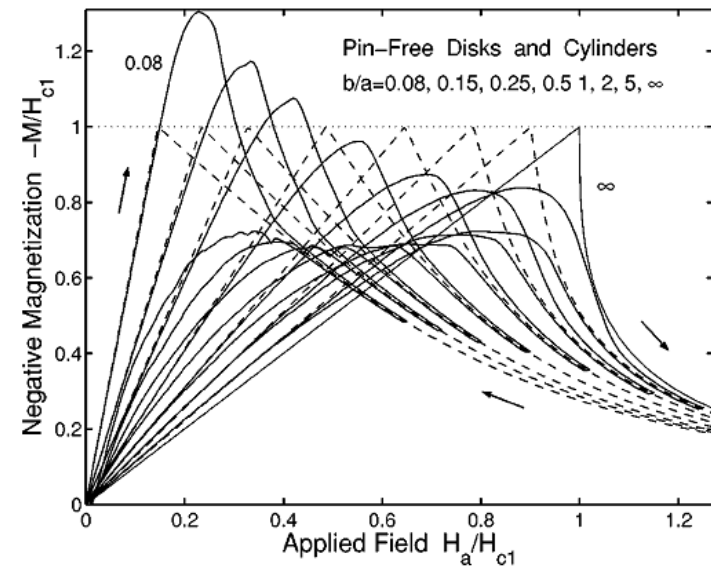
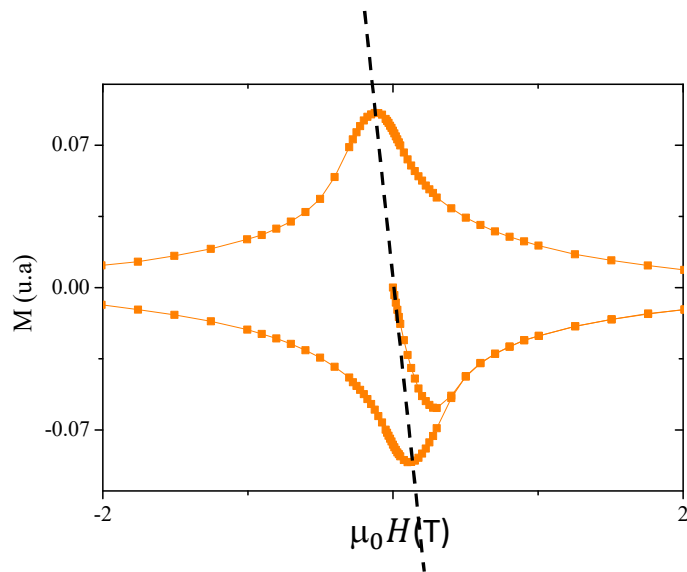


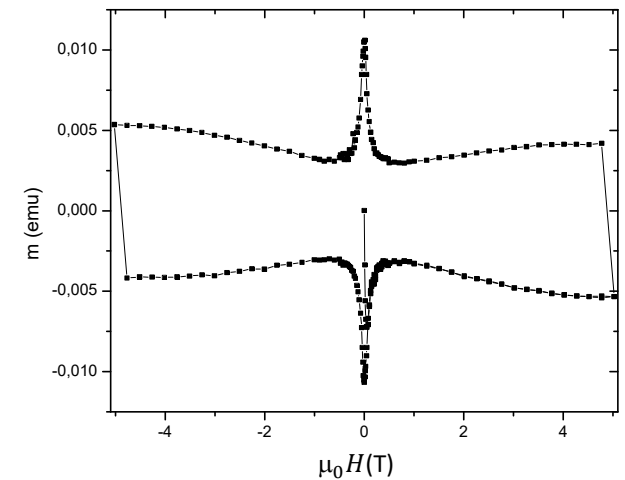
FIG. 3. Irreversible magnetization curves $-M(H_a)$ of pin-free circular disks and cylinders with aspect ratios $b/a=0.08, 0.15, 0.25, 0.5, 1, 2, 5,$ and ∞ in axial field (solid lines). In these type-II superconductors the irreversibility is due to a purely geometric edge barrier for flux penetration. The dashed curves are the reversible magnetization curves of the corresponding ellipsoid defined by Eqs. (1), (4), and (5).

Magnetización en superconductores de tipo II. Más allá del caballo esférico



Lazo de magnetización
de una muestra
cerámica de MgB_2

Lazo de magnetización
de un monocristal de la
familia BaFeCoAs



J_c depende de B . El modelo de Bean vale para cada campo, con una $J_c(B)$.

A campos bajos M es comparable con el campo aplicado H , por lo que $B \neq \mu_0 H$

Magnetización en superconductores de tipo II. Más allá del caballo esférico

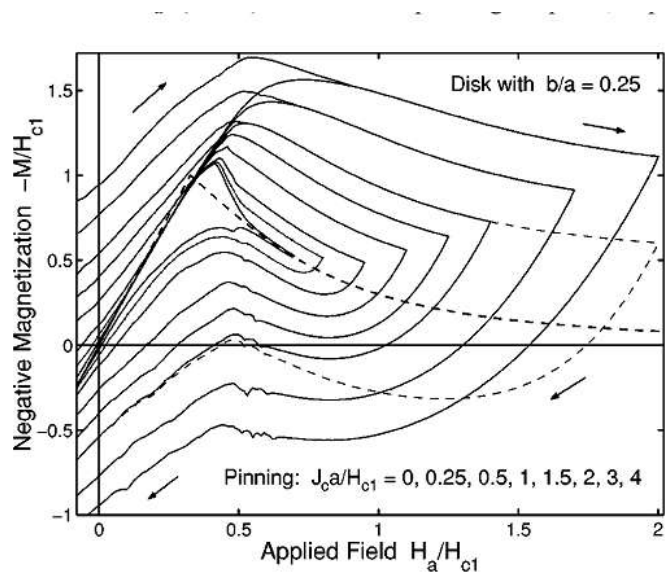
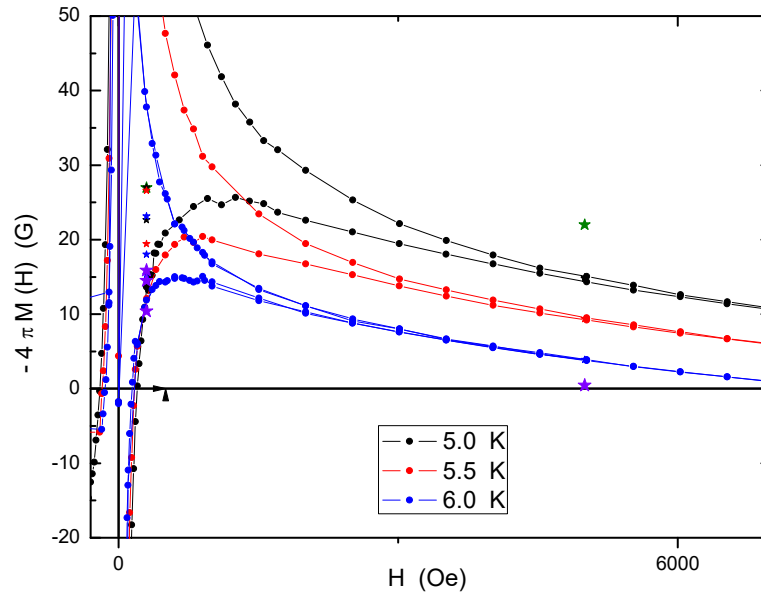


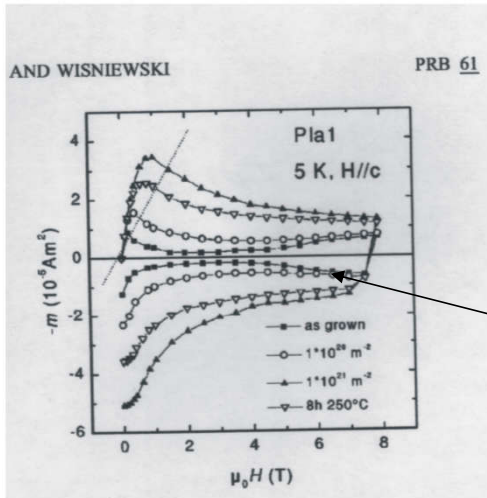
FIG. 4. Magnetization curves of a thick disk with aspect ratio $b/a=0.25$ for various degrees of volume pinning, $J_c=0, 0.25, 0.5, 1, 1.5, 2, 3, 4$ in units H_{c1}/a , and for various sweep amplitudes. The inner loop belongs to the pin-free disk ($J_c=0$), the outer loop to strongest pinning. Also shown is the reversible magnetization curve of the corresponding ellipsoid (dashed curve). All loops are symmetric, $M(-H_a)=-M(H_a)$.



Curvas de magnetización en un monocristal de $NbSe_2$

En superconductores con pocos J_c muy baja, la magnetización reversible es comparable o mayor que la irreversible y hay que tener en cuenta ambas.

Magnetización en superconductores de tipo II. Anomalías no tan anómalas

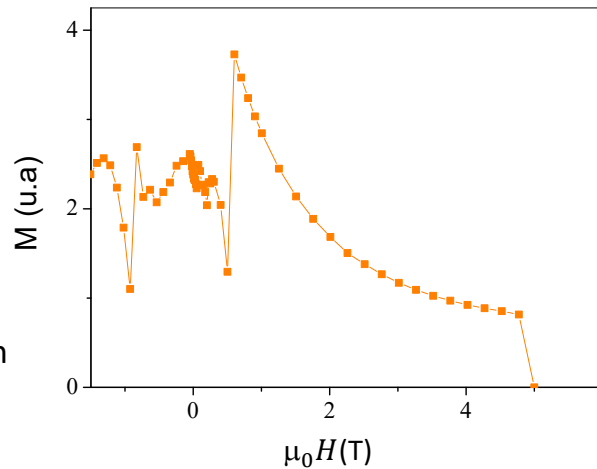


$J_c(B)$ puede tener dependencias "raras"

"Fishtail effect"

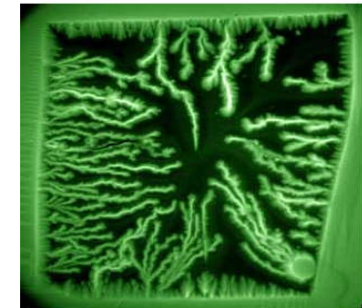
Magnetización en un SAT (YBCO) con diferente grado de defectos.

"Flux jumps" observados en una muestra de MgB_2



En películas delgadas se producen a veces entradas de vortices en formas de dendritas

FLUX AVALANCHES



LOW TEMPERATURES

También se producen avalanchas macroscópicas que se ven en la magnetización